

# 新型近红外域调 Q 及锁模用染料 \*

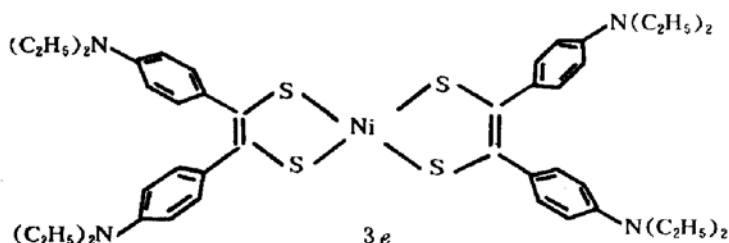
陈翔风 程铸生

(华东理工大学精细化学系, 上海 200237)

**提要** 合成了吸收在红外域 1270 nm 的红外调 Q、锁模染料, 它的四氯乙烯溶液及聚甲基丙烯酸甲酯薄膜能对 1064 nm 和 1079 nm 激光进行满意的调 Q, 脉宽为 4~7 ns。当用其二甲基亚砜溶液对 1079 nm 和 1340 nm 激光进行锁模时, 显示出优良性能, 锁模脉宽为 30~50 ps。

**关键词** 染料, 激光染料, 调 Q, 锁模

本文成功地合成了新型近红外染料: 二[1, 2—二(4-N,N—二乙氨基苯基)-1,2-二硫代乙烯]合镍, 化学结构为<sup>[1,2]</sup>



属镍络硫代双烯型结构, 具有优良光化学稳定性, 经化学元素分析, 红外光谱、质谱、紫外光谱等鉴定, 确证了结构。

## 1 染料的紫外光谱测试

测试结果示于表 1。

Table 1 Absorption of dye BDN-3 e

Solvent	Triethylamine	Tetrachloro- ethylene	1,2-Dichloro- ethane	DMF	Cyclobutyl- sulfone	DMSO
$\lambda_{\max}$ (nm)	1070	1085	1195	1225	1260	1270

\* 国家自然科学基金资助项目。

收稿日期: 1993 年 9 月 2 日, 收到修改稿日期: 1993 年 12 月 3 日

## 2 染料调 Q 性能测试

染料用于调 Q、锁模时可以将染料溶于适当溶剂中,然后注入染料盒。放在激光谐振腔内,实验中我们除用染料溶液法外,还应用高分子材料,以聚甲基丙烯酸甲酯(PMMA)及聚砜塑料作为分散介质,做成含有染料的薄膜。作为轻便的固体元件,有利于激光器的微型化。

### 2.1 聚甲基丙烯酸甲酯染料薄膜的制备

将纯化过的聚甲基丙烯酸甲酯溶于甲苯溶液中,然后与定量染料氯仿溶液混合均匀,将此溶液在玻璃板上涂布,待溶剂蒸发。取下薄膜即成,其所含染料浓度为  $3.93 \times 10^{-6} \text{ mol/g}$ 。标号为(BDN-3e-2)。

聚砜塑料染料薄膜按上述同样方法制备,其所含染料浓度为  $3.15 \times 10^{-6} \text{ mol/g}$  和  $3.94 \times 10^{-6} \text{ mol/g}$ 。标号为(BDN-3e-3)和(BDN-3e-4)。

### 2.2 染料调 Q 性能测试

测试装置简图如图 1。图中 1 为 He-Ne 激光器,2 为光阑,3 为全反射膜,4 为染料盒(片),5 为激光谐振腔含氙灯,6 为半反膜,7 为能量计,8 为光电探测器,9 为内调焦望远镜,10 为固体激光电源,11 为检流计,12 为示波器,13 为直流电源。

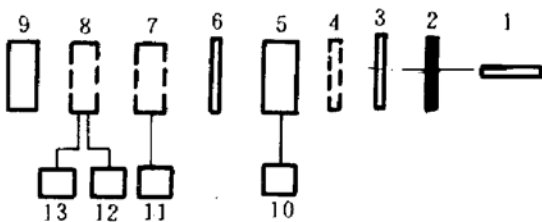


Fig. 1 Experimental arrangement of Q-switching

#### 2.2.1 染料调 Q Nd : YAG 激光器

测试条件为:激光波长:  $1.064 \mu\text{m}$ ; 工作物质棒:  $\phi 3.5 \times 50 \text{ mm Nd : YAG 棒}$ ; 谐振腔长:  $73 \text{ mm}$ ; 储能电容:  $C_1 \sim C_5$ ; 输出镜透过率:  $T = 50\%$ 。

测试结果见表 2,能量输出特性曲线见图 2,调 Q 脉冲波形见图 3。

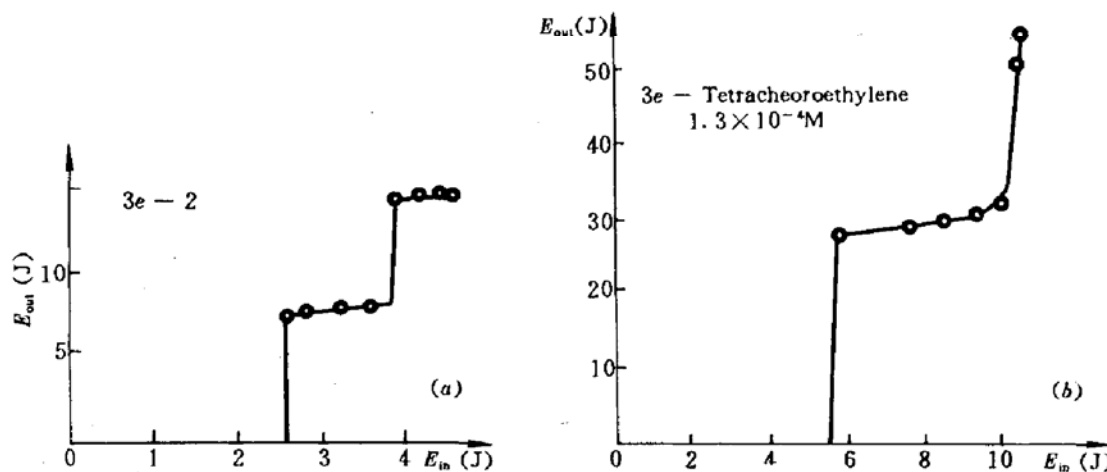


Fig. 2  $E_{out} \sim E_{in}$  curve

#### 2.2.2 染料调 Q Nd : YAP 激光器

测试条件为激光波长:  $1.079 \mu\text{m}$ ; 工作物质棒:  $\phi 3.5 \times 50 \text{ mm (Ce, Nd) : YAP 棒}$ ; 谐振腔长:  $130 \text{ mm}$ ; 储能电容:  $C = 21 \mu\text{f}$ ; 输出镜透过率:  $T = 92\%$ 。

Table 2

<i>Q</i> -switching elements	Input voltage <i>U</i> (V)	Input energy <i>E</i> <sub>in</sub> (J)	Output energy <i>E</i> <sub>out</sub> (mJ)	Static output energy <i>E'</i> <sub>out</sub> (mJ)	Dynamic-static ratio $\eta$	pulsed width (ns)
	430	3.9	14.8	52.0	29%	
3e-C <sub>2</sub> Cl <sub>4</sub>	550	6.4	14.2			
1.6 × 10 <sup>-5</sup> mol/l	570	6.8	14.5			
<i>C</i> <sub>1</sub> = 42 μF	600	7.6	28.0			
	650	8.9	28.7			
	730	5.6	27.7	81.0	34%	4
3e-C <sub>2</sub> Cl <sub>4</sub>	850	7.6	28.2			
1.3 × 10 <sup>-4</sup> mol/l	900	8.5	28.5			
<i>C</i> <sub>2</sub> = 12 μF	950	9.5	30.5			
	1000	10.5	48.0			
	1010	10.7	55.0			
	690	2.8	7.6	34.5		
	700	2.9	7.9		22%	7~8
3e-2	750	3.4	7.7			
<i>C</i> <sub>3</sub> = 12 μF	780	3.7	7.6			
	810	3.9	14.6			
	840	4.2	14.7			
	810	3.9	4.2	57.0	7%	
3e-3	850	4.3	4.2			7
<i>C</i> <sub>4</sub> = 12 μF	900	4.9	4.5			
	930	5.2	8.2			
	740	3.3	2.8	46.4		
3e-4	800	3.8	3.5		6%	15
<i>C</i> <sub>5</sub> = 12 μF	820	4.0	3.6			
	840	4.2	6.7			

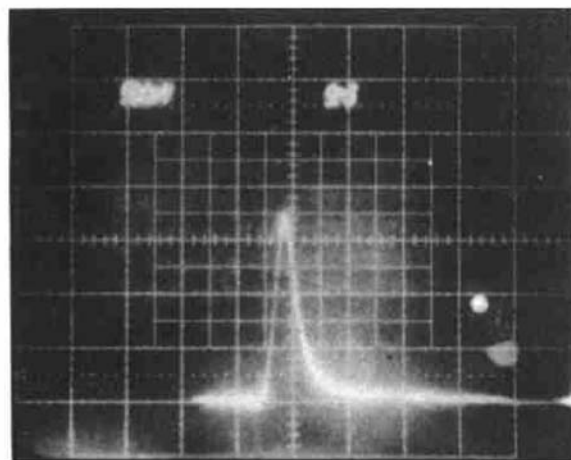


Fig. 3 Oscillogram of 3e tetrachloroethylene switching

测试结果见表 3, 能量输出特性曲线见图 4, 调 Q 脉冲波形图见图 5。

Table 3

<i>Q</i> -switching element	Input voltage U (V)	Input energy $E_{in}$ (J)	Output energy $E_{out}$ (mJ)	Static output energy $E_{out}^{\text{Tr}}$ (mJ)	Dynamic-static ratio $\eta$	Pulsed width (ns)
3e- $C_2Cl_4$ $1.6 \times 10^{-5} \text{ mol/l}$	710	5.3	4.3	19.0	23%	
	730	5.6	4.1			
	750	5.9	4.5			
	780	6.4	9.0			
	800	6.7	9.2			
3e- $C_2Cl_4$ $1.3 \times 10^{-4} \text{ mol/l}$	720	5.4	8.2	34.0		
	760	6.1	8.8		24%	
	780	6.3	9.2			
	800	6.7	16.8			
	840	7.4	17.2			

表 2, 表 3 中的  $\eta = \frac{E_{out}^{\text{Tr}}}{E_{out}} \times 10\%$  ( $E_{out}^{\text{Tr}}$  为阈值输出能量, 即每组  $E_{out}$  的第一个数据)。

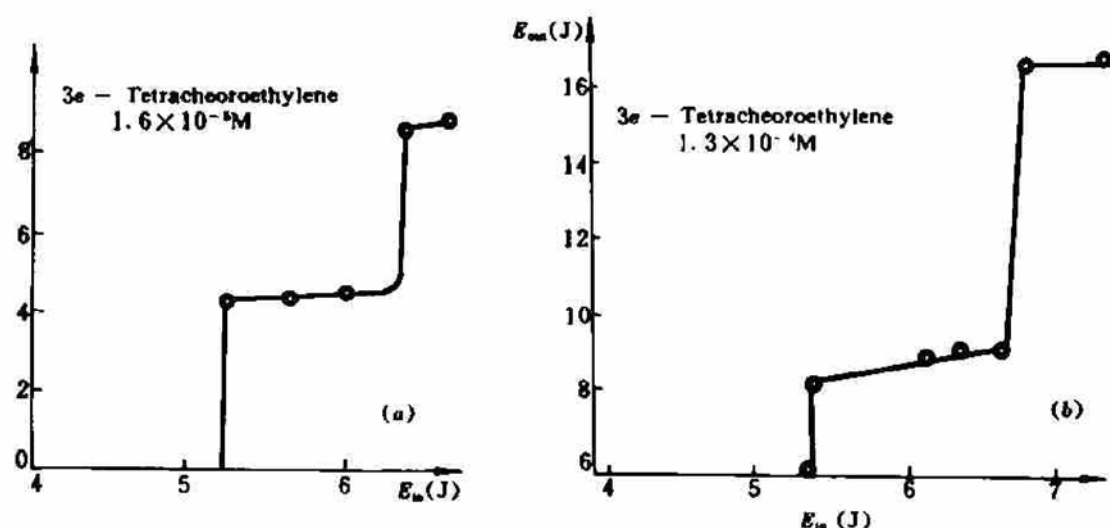
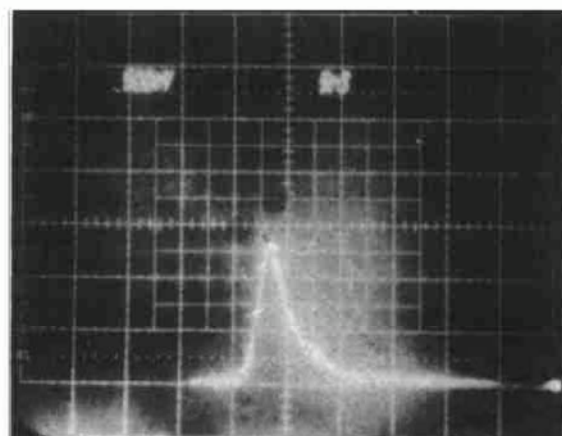
Fig. 4  $E_{out} \sim E_{in}$  curve

Fig. 5 Oscillogram of 3e tetrachloroethylene switching

### 3 染料锁模性能测试

测试装置如图 6 所示。图中 1 为  $1.079 \mu\text{m}$ ,  $1.340 \mu\text{m}$  部分反射膜；2 为倍频晶体；3 为  $1.079 \mu\text{m}$  全反射膜；4 为  $(\text{Ce}, \text{Nd}) : \text{YAP}$  棒；5 为染料池；6 为  $1.340 \mu\text{m}$  全反射膜；7 为能量计；8 为示波器。

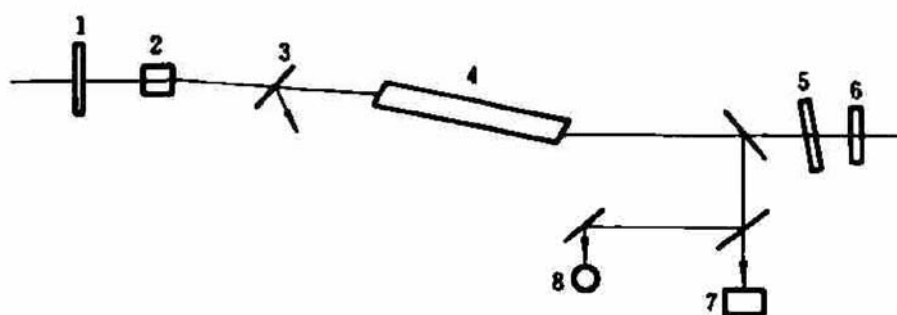


Fig. 6 Diagram of mode-locking

3.1 用  $3e$  的二甲亚砜溶液对  $1.079 \mu\text{m}$  激光进行锁模, 获得稳定的锁模波形, 见图 7, 脉宽为  $30\sim50 \text{ ps}$ 。输出能量为  $28.6, 27.4, 25.7, 24.2, 24.3, 23.0, 27.0 \text{ mJ}$ , 平均为  $25.7 \text{ mJ}$ 。

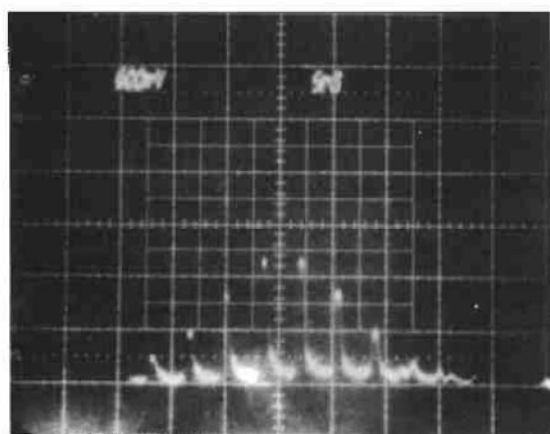


Fig. 7

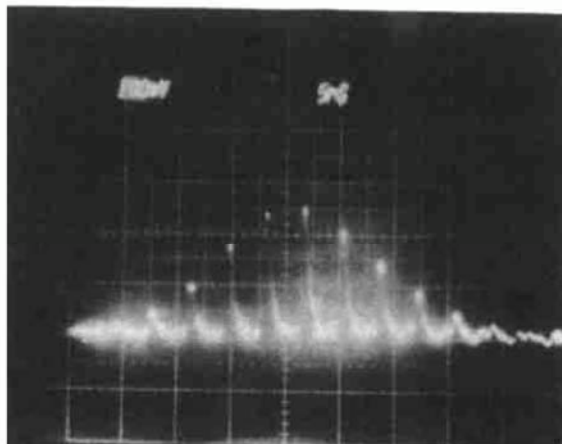


Fig. 8

3.2 用  $3e$  的二甲亚砜溶液对  $1.340 \mu\text{m}$  激光进行锁模, 得到稳定的锁模波形, 示于图 8。脉宽为  $30\sim50 \text{ ps}$ 。输出能量为  $22.1, 19.5, 20.6, 22.7, 21.6, 25.0, 23.8, 25.3, 25.7 \text{ mJ}$ , 平均为  $22.9 \text{ mJ}$ 。

3.3 用  $3e\cdot4$  (聚砜薄膜) 对  $1.340 \mu\text{m}$  激光进行锁模, 能得到锁模波形, 但波的稳定性稍差, 脉宽也稍宽些(见图 9)。输出能量为  $3.8, 3.3, 3.8, 3.5, 3.1, 3.5, 3.1, 3.3, 3.2, 3.1, 3.2 \text{ mJ}$ , 平均为  $3.4 \text{ mJ}$ 。

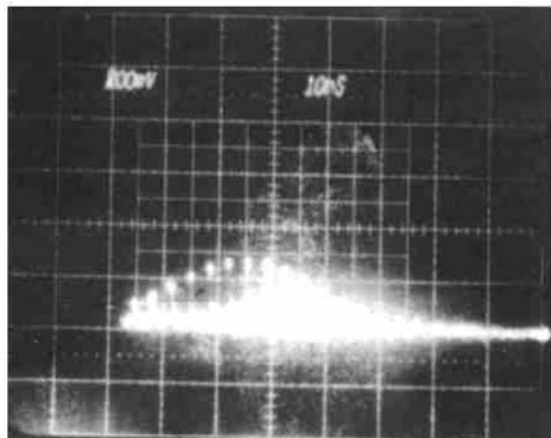


Fig. 9

### 参 考 文 献

- 1 Nobuhiro Kuramoto, Katsuya Asao. *Dyes and Pigments*, 1990, 12 : 65~77
- 2 Wolfgang Freyer. *J. Prakt. Chem.*, 1986, 328(2) : 253~260

## A Novel Infrared Switching and Mode-locking Dye

Chen Xiangfeng Cheng Zhusheng

(*East China University of Chemical Technology, Shanghai 200237*)

**Abstract** A novel infrared laser dye absorbing at 1270 nm was synthesized. The properties of switching and mode-locking for different laser were investigated. It can *Q*-switch 1064 nm and 1079 nm lasers satisfactorily with tetrachloroethylene and PMMA film. The pulse-widths are 4~7 ns. It's DMSO solution shows excellent ability in mode-locking 1079 nm and 1340 nm laser. The pulse-widths are 30~50 ps.

**Key words** dye, lasing dye, *Q*-switching, mode-locking